

Sprawozdanie  
P3.20 z analizy numerycznej  
Obliczanie  $A^{-1}$  za pomocą rozkładu QR macierzy

Artur Derechowski  
Mateusz Markiewicz

19 stycznia 2019

## Spis treści

<b>1</b>	<b>Wstęp</b>	<b>2</b>
1.1	Cel zadania . . . . .	2
1.2	Streszczenie sprawozdania . . . . .	2
<b>2</b>	<b>Opis teoretyczny problemu</b>	<b>2</b>
2.1	Wprowadzenie do zagadnienia . . . . .	2
2.2	Poszukiwanie $A^{-1}$ . . . . .	4
<b>3</b>	<b>Rozkład QR</b>	<b>4</b>
3.1	Wstęp . . . . .	4
3.2	Przekształcenia Householdera . . . . .	5
3.3	Przebieg algorytmu . . . . .	5
3.4	Gram-Schmidt . . . . .	7
<b>4</b>	<b>Rozkład LU</b>	<b>7</b>
4.1	Wstęp . . . . .	7
4.2	Metoda Doolittle’a . . . . .	7
4.3	Obliczenie macierzy odwrotnej za pomocą rozkładu LU . . . . .	8
<b>5</b>	<b>Porównanie metod opartych na rozkładach QR oraz LU</b>	<b>9</b>
5.1	Wstęp . . . . .	9
5.2	Porównanie metody opartej na rozkładzie QR i LU . . . . .	9
5.3	Poprawność numeryczna metod LU oraz QR . . . . .	12
5.4	Wnioski . . . . .	13

<b>6 Podsumowanie</b>	<b>14</b>
<b>7 Literatura</b>	<b>14</b>

## 1 Wstęp

Macierzą odwrotną do  $A$  nazywamy macierz  $A^{-1}$  taką, że  $AA^{-1} = A^{-1}A = I$ . Jest kilka sposobów obliczania macierzy odwrotnej. W naszej pracowni przedstawiamy dwa z nich, czyli rozkład QR i rozkład LU, a następnie porównamy obie te metody.

### 1.1 Cel zadania

Zadanie zostało podzielone na dwie części. Wyznaczamy rozkład macierzy  $A = QR$ , gdzie  $Q$  jest macierzą ortogonalną, a  $R$  macierzą górnortrójkątną. Następnie wyznaczamy również rozkład macierzy  $A = LU$ , gdzie  $L$  i  $U$  są odpowiednio macierzami dolno i górnortrójkątnymi.

Następnie wykorzystujemy oba te rozkłady do policzenia macierzy odwrotnej do  $A$  i badamy je pod względem dokładności.

### 1.2 Streszczenie sprawozdania

Po teoretycznym wprowadzeniu do omawianego zagadnienia przejdziemy do opisu metod znajdowania  $A^{-1}$  opartych na rozkładach  $QR$  oraz  $LU$ . Przedstawimy algorytmu używane w tych metodach. Następnie zajmiemy się porównaniem tych metod, zarówno w sposób teoretyczny, jak i praktyczny. Porównamy zarówno dokładność obu tych metod, jak i ich numeryczną poprawność. Na końcu przedstawimy wnioski płynące z wyników obliczeń.

## 2 Opis teoretyczny problemu

### 2.1 Wprowadzenie do zagadnienia

**Macierz  $A$**  to prostokątna tablica danych jednego typu, w której każdy element numerowany jest za pomocą dwóch współrzędnych w następujący sposób:

$$A = \begin{bmatrix} a_{11} & a_{12} & \dots & a_{1m} \\ a_{21} & a_{22} & \dots & a_{2m} \\ \vdots & \vdots & \ddots & \vdots \\ a_{n1} & a_{n2} & \dots & a_{nm} \end{bmatrix}$$

Każda kolumna tej macierzy ma  $n$  elementów, a każdy wiersz  $m$  elementów, o takiej macierzy mówimy, że jest rozmiaru  $n \times m$ . Macierz, która ma tyle samo elementów w kolumnach i wierszach jest nazywana macierzą kwadratową o rozmiarze  $n \times n$ .

**Mnożenie macierzy**  $A \cdot B$  zdefiniowane jest w następujący sposób:

$$\begin{bmatrix} a_{11} & a_{12} & \dots & a_{1m} \\ a_{21} & a_{22} & \dots & a_{2m} \\ \vdots & \vdots & \ddots & \vdots \\ a_{n1} & a_{n2} & \dots & a_{nm} \end{bmatrix} \cdot \begin{bmatrix} b_{11} & b_{12} & \dots & b_{1p} \\ b_{21} & b_{22} & \dots & b_{2p} \\ \vdots & \vdots & \ddots & \vdots \\ b_{m1} & b_{m2} & \dots & b_{mp} \end{bmatrix} = \begin{bmatrix} c_{11} & c_{12} & \dots & c_{1p} \\ c_{21} & c_{22} & \dots & c_{2p} \\ \vdots & \vdots & \ddots & \vdots \\ c_{n1} & c_{n2} & \dots & c_{np} \end{bmatrix}$$

$$\text{gdzie } c_{ij} = \sum_{k=1}^m a_{ik}b_{kj}$$

Warto zauważyć, że aby mnożenie macierzy  $A$  i  $B$  było możliwe muszą być one odpowiednich rozmiarów. Dla macierzy  $A$  rozmiaru  $n \times m$  macierz  $B$  musi być rozmiaru  $m \times p$  dla pewnego  $p$ . Macierz wynikowa  $C$  jest wówczas rozmiaru  $n \times p$ .

Mnożenie macierzy nie jest przemienne, czyli  $A \cdot B \neq B \cdot A$ .

**Macierzą jednostkową** (identycznościową, tożsamościową)  $I$  nazywamy macierz rozmiaru  $n \times n$  zawierającą 1 na przekątnej oraz 0 na pozostałych współrzędnych.

$$I = \begin{bmatrix} 1 & 0 & \dots & 0 \\ 0 & 1 & \dots & 0 \\ \vdots & \vdots & \ddots & \vdots \\ 0 & 0 & \dots & 1 \end{bmatrix}$$

Dla danej macierzy  $A$  określamy  $A^T$ , czyli **macierz transponowaną** macierzy  $A$  w następujący sposób:

$$A^T = \begin{bmatrix} a_{11} & a_{12} & \dots & a_{1m} \\ a_{21} & a_{22} & \dots & a_{2m} \\ \vdots & \vdots & \ddots & \vdots \\ a_{n1} & a_{n2} & \dots & a_{nm} \end{bmatrix}^T = \begin{bmatrix} a_{11} & a_{21} & \dots & a_{n1} \\ a_{12} & a_{22} & \dots & a_{n2} \\ \vdots & \vdots & \ddots & \vdots \\ a_{1n} & a_{2n} & \dots & a_{nn} \end{bmatrix}$$

**Macierzą dolnotrójkątną**  $L$  lub **macierzą górnortrójkątną**  $U$  nazywamy macierz, której współczynniki odpowiednio nad lub pod główną przekątną wynoszą 0.

$$L = \begin{bmatrix} l_{11} & 0 & \dots & 0 \\ l_{21} & l_{22} & \dots & 0 \\ \vdots & \vdots & \ddots & \vdots \\ l_{n1} & l_{n2} & \dots & l_{nn} \end{bmatrix} \quad U = \begin{bmatrix} u_{11} & u_{12} & \dots & u_{1n} \\ 0 & u_{22} & \dots & u_{2n} \\ \vdots & \vdots & \ddots & \vdots \\ 0 & 0 & \dots & u_{nn} \end{bmatrix}$$

Macierz  $A$  jest **macierzą ortogonalną**, gdy spełnione jest równanie  $A \cdot A^T = I = A^T \cdot A$ , czyli jeśli jej transpozycja jest równocześnie jej macierzą odwrotną.

## 2.2 Poszukiwanie $A^{-1}$

Problem znalezienia **macierzy odwrotnej**  $A^{-1}$  dla danej macierzy  $A$  jest ważnym zagadnieniem z powodu użyteczności macierzy odwrotnej w wielu zagadnieniach. Macierz odwrotna do macierzy  $A$  może istnieć tylko, gdy  $A$  jest macierzą kwadratową, ale nie jest to warunkiem wystarczającym do istnienia  $A^{-1}$ . Warunkiem koniecznym jest również to, by macierz  $A$  była nieosobliwa, czyli  $\det(A) \neq 0$ , gdzie  $\det(A)$  to wyznacznik macierzy  $A$ . Jeśli  $A^{-1}$  dla danej macierzy  $A$  istnieje mówimy, że  $A$  jest odwracalna. W przeciwnym przypadku  $A$  jest macierzą nieodwracalną.

Macierz odwrotna spełnia następujące własności:

$$\begin{aligned} (A^{-1})^{-1} &= A \\ (A \cdot B)^{-1} &= B^{-1} \cdot A^{-1} \\ (A^T)^{-1} &= (A^{-1})^T \\ I^{-1} &= I \end{aligned}$$

Szukanie  $A^{-1}$  jest trudnym problemem, do którego rozwiązania opracowane zostały różne metody. My omówimy dwie z nich. Pierwsza wykorzystuje rozkład  $A = QR$  macierzy, a druga rozkład  $A = LU$  macierzy  $A$ .

## 3 Rozkład QR

### 3.1 Wstęp

Daną macierz  $A$  można jednoznacznie rozłożyć na iloczyn macierzy  $Q$  i  $R$ , takich, że  $A = Q \cdot R$ , gdzie  $Q$  jest macierzą ortogonalną ( $Q \cdot Q^T = I$ ), a  $R$  jest macierzą górnotrójkątną.

Dzięki temu można łatwo rozwiązać układ równań  $Ax = b$ :

$$\begin{aligned} Ax &= b \\ QRx &= b \\ Rx &= Q^T b \end{aligned}$$

Gdy układ równań jest trójkątny, kolejne zmienne można wyznaczyć podstawieniami w sumarycznym czasie  $O(n^2)$ .

Podobnie, mając macierz  $A = QR$ , można wyliczyć odwrotność macierzy  $A$ , co jest naszym zadaniem.

$$\begin{aligned} AA^{-1} &= I \\ QRA^{-1} &= I \\ A^{-1} &= R^{-1}Q^T \end{aligned}$$

### 3.2 Przekształcenia Householdera

Aby uzyskać macierz górnotrójkątną  $R$ , w każdym kroku algorytmu będziemy zerować dolną część jednej kolumny macierzy  $A$ . Używamy do tego przekształceń Householdera, które jest odbiciem, czyli przekształceniem ortogonalnym. Przykładowo, po zastosowaniu jednego przekształcenia Householdera, macierz  $H_1 A$  będzie wyglądała następująco:

$$H_1 A = \begin{bmatrix} a_{11} & a_{12} & \dots & a_{1n} \\ 0 & a_{22} & \dots & a_{2n} \\ \vdots & \vdots & \ddots & \vdots \\ 0 & a_{n2} & \dots & a_{nn} \end{bmatrix}$$

Aby uzyskać takie przekształcenie mnożymy macierz  $A$  przez macierz Householdera postaci

$$H = I - 2v * v^T$$

gdzie  $v$  jest wektorem jednostkowym.

### 3.3 Przebieg algorytmu

Do rozkładu QR stosuje się przekształcenia Householdera na wektorze

$$u = x - \|x\|e_1$$

gdzie  $x$  jest pierwszą kolumną macierzy  $A$ , a  $e_1 = [1, 0, \dots, 0]^T$ .

Gdy normalizujemy wektor  $u$ , macierz przekształcenia  $H$  dana jest wzorem:

$$H = I - 2 \frac{u}{\|u\|} \frac{u^T}{\|u^T\|} = I - 2 \frac{uu^T}{u^T u}$$

Można pokazać, że po tym przekształceniu macierz  $H_1 A$  będzie miała wyzerowaną pierwszą dolną kolumnę poza najwyższym polem, czyli będzie odpowiedniej postaci do dalszego przekształcania na macierz górnątrójkątną.

W kolejnych krokach algorytmu stosujemy przekształcenia Householdera na macierzy  $A$  bez lewej kolumny i górnego wiersza. Wtedy uzyskana macierz będzie jednak mniejsza od macierzy  $A$ , więc aby nie zmieniać "lewych" kolumn, które zostały wcześniej dobrze dopasowane, dopełniamy macierz  $H_i$  macierzą identycznościową. Wtedy macierz, przez którą w każdym kroku mnożymy dotychczas uzyskaną macierz wygląda następująco:

$$H_k := \begin{bmatrix} I_{n-k} & 0 \\ 0 & H_k \end{bmatrix}$$

Stosując  $n - 1$  kolejnych przekształceń Householdera  $H_i$  otrzymujemy wynikowo macierz górnątrójkątną  $R$ , a także ortogonalną macierz  $Q$ , czyli rozkład, którego szukamy w następujący sposób:

$$\begin{aligned} R &= H_{n-1} \dots H_2 H_1 A \\ Q &= H_1 H_2 \dots H_{n-1} \end{aligned}$$

Wynikowe macierze w rozkładzie  $QR$  można więc przedstawić jako iloczyn macierzy Householdera.

Można zobaczyć, że mając rozkład macierzy na iloczyn  $QR$  spełniający wyżej wymienione własności, macierz odwrotną  $A^{-1}$  można wyliczyć jako  $A^{-1} = R^{-1} Q^T$ . Następnym krokiem algorytmu jest więc odwrócenie macierzy górnątrójkątnej  $R$ . Można to zrobić w następujący sposób:

```

for  $i := 1$  to  $n$  do
   $A_{ii} = 1/A_{ii}$ 
  for  $i := n - 1$  step  $-1$  to  $1$  do
    for  $j := n$  step  $-1$  to  $i + 1$  do
       $s := 0$ 
      for  $k := i + 1$  to  $j$  do
         $s := s + A_{ik} * A_{kj}$ 
       $A_{ij} = -A_{ii} * s$ 

```

Ten algorytm, zastosowany do macierzy górnotrójkątnej, wylicza jej odwrotność w czasie  $O(n^3)$ .

Cały algorytm wyznaczania macierzy odwrotnej za pomocą rozkładu  $QR$  tworzy  $n$  macierzy  $H_i$ , które można wyliczyć w czasie  $O(n^2)$ , następnie wykonuje operacje w czasie  $O(n^3)$ , więc cała złożoność algorytmu to  $O(n^3)$ .

### 3.4 Gram-Schmidt

Znaną metodą ortogonalizacji macierzy jest proces Grama-Schmidta i również w ten sposób można uzyskać rozkład  $QR$ . Nie jest to jednak zalecane, ponieważ w wyniku tych przekształceń mogą powstawać bardziej znaczące błędy numeryczne. Można to wywnioskować interpretując proces Grama-Schmidta jako odejmowanie od wektora jego rzutów na poprzednio uzyskane wektory. Wtedy, gdy dwa wektory były "prawie" liniowo zależne, odejmujemy niemal cały wektor, co powoduje brak stabilności numerycznej.

## 4 Rozkład LU

### 4.1 Wstęp

Rozkład  $LU$  macierzy  $A$  polega na znalezieniu macierzy dolnotrójkątnej  $L$  (z wartościami 1 na głównej przekątnej) oraz górnotrójkątnej  $U$ , takich że ich iloczyn będzie macierzą  $A$ , czyli:

$$\begin{bmatrix} a_{11} & a_{12} & \dots & a_{1n} \\ a_{21} & a_{22} & \dots & a_{2n} \\ \vdots & \vdots & \ddots & \vdots \\ a_{n1} & a_{n2} & \dots & a_{nn} \end{bmatrix} = \begin{bmatrix} 1 & 0 & \dots & 0 \\ l_{21} & 1 & \dots & 0 \\ \vdots & \vdots & \ddots & \vdots \\ l_{n1} & l_{n2} & \dots & 1 \end{bmatrix} \times \begin{bmatrix} u_{11} & u_{12} & \dots & u_{1n} \\ 0 & u_{22} & \dots & u_{2n} \\ \vdots & \vdots & \ddots & \vdots \\ 0 & 0 & \dots & u_{nn} \end{bmatrix}$$

### 4.2 Metoda Doolittle'a

Metoda Doolittle'a polega na naprzemiennym wyznaczaniu kolejnych wierszy macierzy  $U$  oraz kolumn macierzy  $L$ . Szczegółowy algorytm wygląda następująco:

```
for  $i := 1$  to  $n$  do
   $u_{ii} = a_{ii} - \sum_{k=1}^{i-1} l_{ik}u_{ki}$ 
   $l_{ii} = 1$ 
  for  $j := i + 1$  to  $n$  do
```

$$u_{ij} = a_{ij} - \sum_{k=1}^{i-1} l_{ik} u_{kj}$$

$$l_{ji} = \frac{1}{u_{ii}} (a_{ji} - \sum_{k=1}^{i-1} l_{jk} u_{ki})$$

Na podstawie algorytmu widać, że rozkład macierzy rozmiaru  $n$  wymaga  $O(n^3)$  operacji. Duża liczba operacji wpływa negatywnie zarówno na czas działania, jak również dokładność obliczeń.

### 4.3 Obliczenie macierzy odwrotnej za pomocą rozkładu LU

Dla danej macierzy kwadratowej  $A$  rozmiaru  $n$  macierz odwrotna  $A^{-1}$  to macierz kwadratowa tego samego rozmiaru spełniająca równość

$$A \cdot A^{-1} = Id = A^{-1} \cdot A$$

Powyższą równość możemy zapisać w postaci:

$$A \cdot \begin{bmatrix} x_{11} & x_{12} & \dots & x_{1n} \\ x_{21} & x_{22} & \dots & x_{2n} \\ \vdots & \vdots & \ddots & \vdots \\ x_{n1} & x_{n2} & \dots & x_{nn} \end{bmatrix} = \begin{bmatrix} 1 & 0 & \dots & 0 \\ 0 & 1 & \dots & 0 \\ \vdots & \vdots & \ddots & \vdots \\ 0 & 0 & \dots & 1 \end{bmatrix}$$

stąd otrzymujemy  $n$  układów równań:

$$A \cdot \begin{bmatrix} x_{11} \\ x_{21} \\ \vdots \\ x_{n1} \end{bmatrix} = \begin{bmatrix} 1 \\ 0 \\ \vdots \\ 0 \end{bmatrix}, \quad A \cdot \begin{bmatrix} x_{12} \\ x_{22} \\ \vdots \\ x_{n2} \end{bmatrix} = \begin{bmatrix} 0 \\ 1 \\ \vdots \\ 0 \end{bmatrix} \quad \dots \quad A \cdot \begin{bmatrix} x_{1n} \\ x_{2n} \\ \vdots \\ x_{nn} \end{bmatrix} = \begin{bmatrix} 0 \\ 0 \\ \vdots \\ 1 \end{bmatrix}$$

### Rozwiązywanie układów równań za pomocą rozkładu LU

Korzystając z własności macierzy wiemy, że:

$$A \cdot X = B$$

$$(L \cdot U) \cdot X = B$$

$$L \cdot (U \cdot X) = B$$

Stąd znajdując wektor  $Y$  taki, że  $L \cdot Y = B$  możemy wyznaczyć wektor  $X$  z własności  $U \cdot X = Y$ . Wektory  $X$  oraz  $Y$  łatwo wyznaczyć z zależności:

$$y_1 = b_1$$

$$y_i = b_i - \sum_{j=1}^{i-1} l_{ij} y_j, \text{ dla } i = 2, 3, \dots, n$$

$$x_n = \frac{y_n}{u_{nn}}$$

$$x_i = \frac{1}{u_{ii}} \left( y_i - \sum_{j=i+1}^n u_{ij} x_j \right) \text{ dla } i = n-1, n-2, \dots, 1$$



### Wyznaczanie $A^{-1}$

Rozwiązując powyższe  $n$  układów równań otrzymamy  $n$  wektorów  $X_1, X_2, \dots, X_n$ . Niech  $X = [X_1|X_2|\dots|X_n]$ , wtedy  $X = A^{-1}$ , czyli wyznaczyliśmy macierz odwrotną do macierzy  $A$ . Dla macierzy  $A$  rozmiaru  $n \times n$  rozkład na macierze  $L, U$  wymaga  $O(n^3)$  operacji. Obliczenie  $A^{-1}$  wymaga rozwiązania  $n$  układów równań, a rozwiązanie każdego z tych układów wymaga  $O(n^2)$  operacji, stąd cały algorytm obliczania  $A^{-1}$  za pomocą rozkładu LU jest rzędu  $O(n^3)$ .

## 5 Porównanie metod opartych na rozkładach QR oraz LU

### 5.1 Wstęp

Do obliczeń użyjemy programu w języku Julia w wersji 1.0.1. Liczby zmiennoprzecinkowe reprezentowane będą w podwójnej precyzji.

Do przedstawiania dokładności, z jaką poszczególne metody wyznaczają macierzy odwrotne wykorzystamy pierwszą normę macierzową zdefiniowaną następująco:

$$\|A\|_1 = \max_{1 \leq j \leq n} \sum_{i=1}^n |A_{ij}|$$

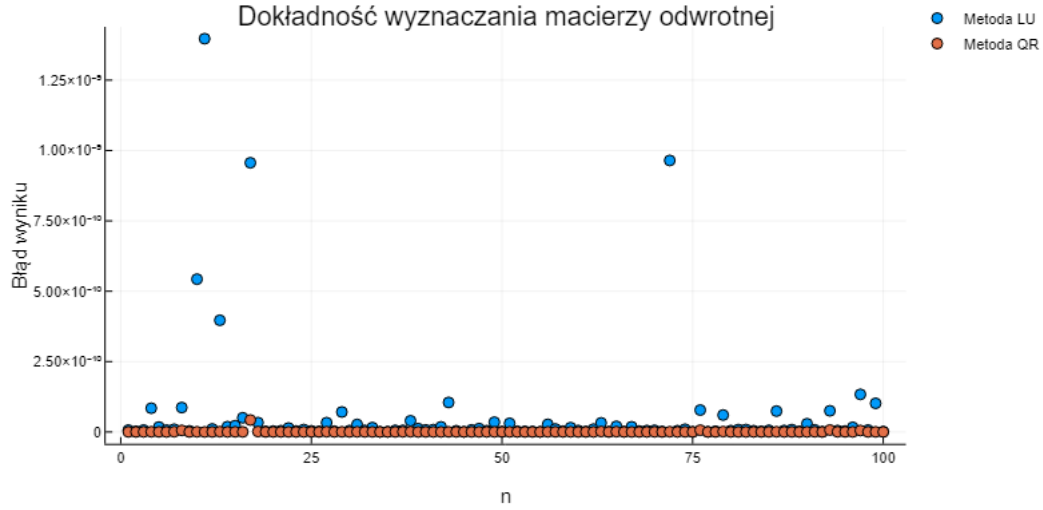
Wiemy, że  $\|A \cdot A^{-1}\| = \|Id\| = 1$ , stąd czym wartość  $\|A \cdot B\|$  jest bliższa 1, tym macierz  $B$  jest dokładniejszym wyznaczeniem macierzy odwrotnej do danej macierzy  $A$ .

### 5.2 Porównanie metody opartej na rozkładzie QR i LU

By porównać metody wyznaczania  $A^{-1}$  oparte na rozkładach  $QR$  oraz  $LU$  macierzy  $A$  rozważmy różne macierze  $A$  oraz porównajmy  $\|A \cdot A^{-1}\|$ . Rozważmy różne macierze  $A$ .

#### Macierz $A$ z losowymi wartościami

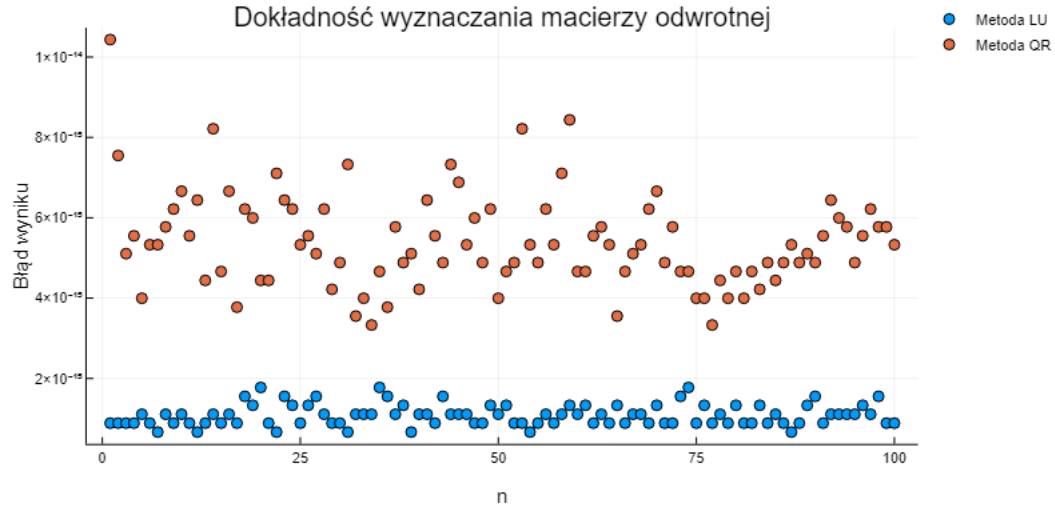
Rozważmy 100 macierzy  $A$  rozmiaru  $50 \times 50$ , których elementy  $a_{ij}$  mają losową wartość całkowitą należącą do przedziału  $[-100, 100]$ . Porównamy dokładność wyznaczania macierzy  $A^{-1}$  za pomocą metod opartych na rozkładzie  $LU$  oraz  $QR$ . Błąd wyniku będzie przedstawiony jako wartość  $|1 - \|A \cdot A^{-1}\||$ .



Jak widać z wykresu dla macierzy tego typu metoda oparta na rozkładzie  $QR$  jest dokładniejsza oraz stabilniejsza od metody opartej na rozkładzie  $LU$ . Błąd wyznaczenia  $A^{-1}$  za pomocą metody  $QR$  nie przekracza  $1 \cdot 10^{-12}$  podczas gdy błąd dla metody  $LU$  dla niektórych macierzy przekracza wartość  $1 \cdot 10^{-9}$ .

### Macierz $A$ z dominującą przekątną

Rozważmy 100 macierzy  $A$  rozmiaru  $100 \times 100$  z coraz mocniej dominującą przekątną. Niech dla  $n = 1$  macierz  $A$  będzie macierzą z losowymi wartościami całkowitymi z przedziału  $[-50, 50]$ . Wraz ze wzrostem  $n$  do wartości na przekątnej macierzy  $A$  będziemy dodawać losowe wartości, by ostatecznie dla  $n = 100$  wartości na przekątnej macierzy  $A$  były rzędu  $1 \cdot 10^6$ . Zbadamy dokładność wyznaczania  $A^{-1}$  dla kolejnych tak zdefiniowanych macierzy  $A$  za pomocą metod  $LU$  oraz  $QR$ .



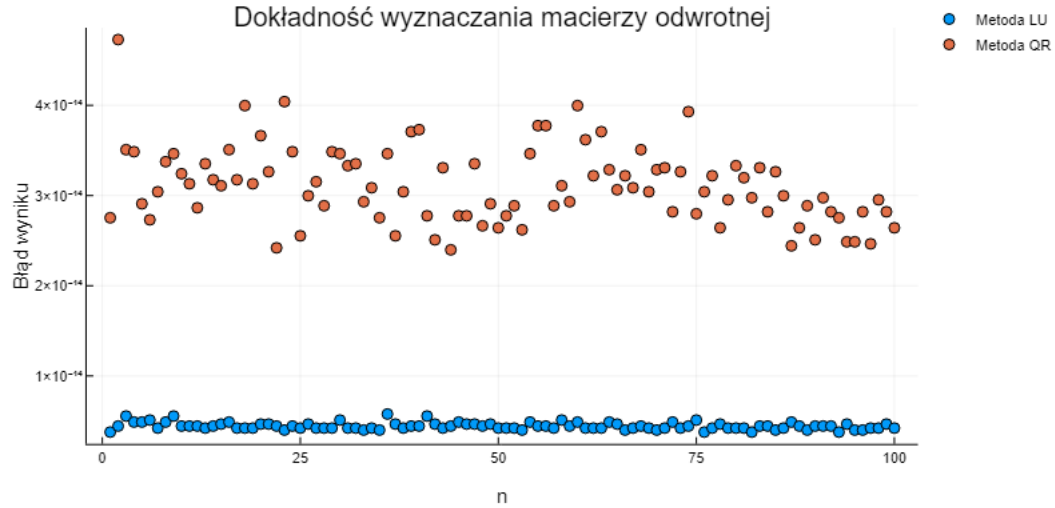
Z wykresu wynika, że dla macierzy  $A$  tego typu obie metody mają dobrą dokładność, lecz to metoda oparta na rozkładzie  $LU$  jest lepsza. Dokładności obu metod są jednak tego samego rzędu, więc różnica nie jest wyraźna.

**Macierz**  $A = Q^T \cdot B \cdot Q$

Rozważmy 100 macierzy  $A$  rozmiaru  $100 \times 100$ . Niech  $Q$  będzie pewną macierzą ortogonalną tego samego rozmiaru. Wówczas niech:

$$A = Q^T \cdot \begin{bmatrix} \lambda_{11} & 0 & \dots & 0 \\ 0 & \lambda_{22} & \dots & 0 \\ \vdots & \vdots & \ddots & \vdots \\ 0 & 0 & \dots & \lambda_{nn} \end{bmatrix} \cdot Q$$

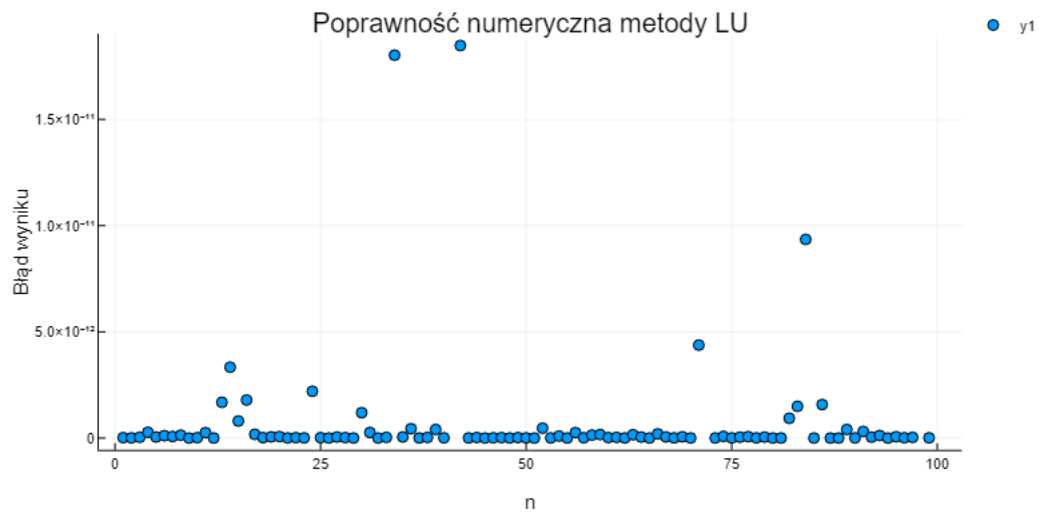
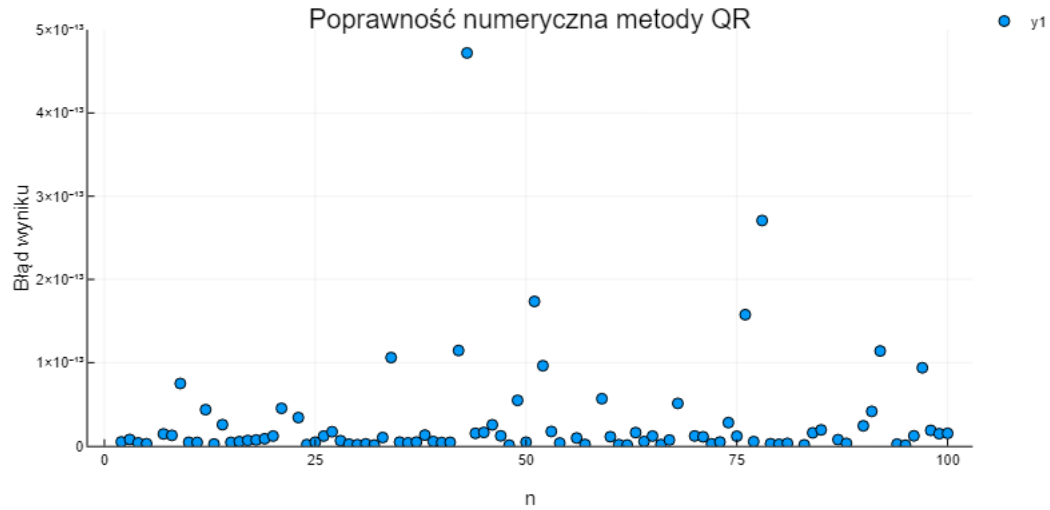
Niech dla każdej macierzy  $A$  zachodzi własność  $\lambda_{11} \geq \lambda_{22} \geq \dots \geq \lambda_{nn}$  oraz niech wartości  $\lambda$  będą początkowo zbliżone (dla  $n = 1$  spełniona jest własność  $\lambda_{11} \sim \lambda_{22} \sim \dots \sim \lambda_{nn}$ ), a następnie niech wartości  $\lambda$  rosną, stając się do siebie coraz mocniej różne. Porównamy dokładność wyznaczania macierzy  $A^{-1}$  za pomocą metod  $LU$  oraz  $QR$  dla tak zdefiniowanych macierzy  $A$ .



Z wykresu wynika, że w przypadku macierzy  $A$  tego typu metoda  $LU$  okazuje się ponownie dokładniejsza od metody  $QR$ . Błąd dokładności metody opartej na rozkładzie  $QR$  jest rzędu  $1 \cdot 10^{-14}$ , a metody opartej na rozkładzie  $LU$  jest rzędu  $1 \cdot 10^{-15}$ . Warto zaznaczyć, że pomimo różnicy jednego rzędu dokładności, to obie metody mają dobrą dokładność.

### 5.3 Poprawność numeryczna metod $LU$ oraz $QR$

Rozważmy macierz  $A$  oraz  $\bar{A}$  takie, że  $\bar{a}_{ij} = a_{ij} + \epsilon$ , gdzie  $\epsilon \in (-10^{-13}, 10^{-13})$ . Porównamy wartości  $\|A^{-1} - \bar{A}^{-1}\|$ , jeśli badana metoda jest numerycznie poprawna wartość ta powinna nie przekraczać  $1 \cdot 10^{-13}$ . Zbadajmy 100 macierzy  $A$  rozmiaru  $25 \times 25$ , których elementy to losowe liczby całkowite z przedziału  $[-50, 50]$ . Na ich podstawie zbadamy poprawność numeryczną metod  $QR$  oraz  $LU$  w sposób opisany powyżej.



Z wykresów widzimy, że metoda  $QR$  jest bardziej poprawna numerycznie od metody  $LU$ . Dla większości macierzy błąd uzyskanego wyniku jest niewielki, jednak w przypadku metody  $LU$  zdarzają się macierze, dla których wartość  $\|A^{-1} - \bar{A}^{-1}\|$  jest rzędu  $1 \cdot 10^{-9}$ , co nie zdarza się w przypadku metody  $QR$ .

#### 5.4 Wnioski

Z przeprowadzonych obliczeń wynika, że metoda znajdowania  $A^{-1}$  oparta na rozkładzie  $QR$  jest bardziej stabilna i numerycznie poprawna od metody

opartej na rozkładzie  $LU$ , chociaż dla pewnych grup macierzy jest mniej dokładna (lecz nadal uzyskiwany błąd jest akceptowalny w zdecydowanej większości przypadków). Warto również zauważyć, że znając rozkłady  $QR$  oraz  $LU$  danej macierzy  $A$  wyznaczenie  $A^{-1}$  na podstawie rozkładu  $QR$  jest o wiele prostsze oraz numerycznie poprawne od wyznaczania macierzy odwrotnej na podstawie rozkładu  $LU$ . Na wyniki wpływ ma więc to, że sam proces znajdowania rozkładu  $QR$  powoduje większe błędy numeryczne od procesu znajdowania rozkładu  $LU$ . Powyższa obserwacja potwierdza się również w przypadku funkcji bibliotecznych z pakietu „Linear Algebra”.

## 6 Podsumowanie

Wyznaczenie macierzy odwrotnej do danej macierzy  $A$  za pomocą rozkładu  $QR$  jest metodą gwarantującą stabilność, numeryczną poprawność oraz zadowalającą dokładność. Pomimo, że istnieją macierze, dla których wyznaczenie  $A^{-1}$  za pomocą rozkładu  $LU$  jest dokładniejsze, niż wyznaczenie macierzy odwrotnej za pomocą rozkładu  $QR$ , metoda  $QR$  gwarantuje nam większą stabilność i pewność uzyskanego wyniku. Należy być jednak świadomym faktu, że obie te metody posiadają swoje wady i zalety.

## 7 Literatura

- 1) D. Kincaid, W. Cheney, Analiza numeryczna, WNT, 2005.
- 2) A. Schegel (aaronsc32), QR Decomposition with Householder Reflections, RPubS, 2018.
- 3) Mathematics Source Library C&ASM, mymathlib.com, 2004.
- 4) D. Bindel, Matrix Computations (CS6210), Cornell University, Sep 28 2012.